

宮崎大学 学生員・佐野 洋
宮崎大学 正員 太田 俊昭

I 諸言 本研究は、先に提案した正方形及び矩形断面を対象とする弾塑性挙動解析理論を拡張応用し、工型、T型断面の弾塑性挙動を解析すると共に、それらの実用公式を提示したもので、特に工型、T型断面などを矩形体の集合体としてとらえ一般的な場合の近似公式を併記している。

II 基礎的考察及び解法 弾塑性挙動解析理論の骨子を概説すれば、次の通りである。

一様な任意形断面棒が、下りき挙動モーメントで挙げられの場合の挙動応力函数を X とすれば、図-1

$$\text{式(1)} \quad (\partial X / \partial y)^2 + (\partial X / \partial z)^2 = -2W^2 \quad \dots \dots \dots \text{(1)}$$

ただし、 G ；剪断弹性係数、 W ；単位長当り挙動角。

また、塑性域では、ミーゼスの条件 $\sqrt{T_{2y}^2 + T_{2z}^2} = K = \sigma_r / \sqrt{3}$ すな

$$\{(\partial X / \partial y)^2 + (\partial X / \partial z)^2\}^{1/2} = 18 \text{ rad} \quad X = M_{max} (\partial X / \partial z) = K \quad \dots \dots \dots \text{(2)}$$

ただし、 T_{ij} ；降伏垂直応力、 \bar{x} ；任意方向をとり座標軸。

式(1)(2)を無次元化して差分表示すれば、弹性、塑性の両域に適用可能なる式として次の式が与えられる。

$$(4\alpha_{i,j,i} + \beta_{i,j}) \bar{\phi}_{i,j,i} - \alpha_{i,j,i} \bar{\phi}_{i,j,i-1} - \alpha_{i,j,i+1} \bar{\phi}_{i,j,i+1} - \alpha_{i,j+1,i} \bar{\phi}_{i,j+1,i} - \alpha_{i,j-1,i} \bar{\phi}_{i,j-1,i} = 2\bar{\omega}^2 \bar{\alpha}_{i,j,i} + \bar{\beta}_{i,j,i} \quad \dots \dots \dots \text{(3)}$$

ここで、 $\bar{\phi} = \phi / \omega_r$ 、 $\bar{\omega} = \omega / \omega_r$ 、 \bar{x} ；格子間隔、 α, β は弹性域($\alpha=1, \beta=0$)、塑性域($\alpha=0, \beta=1$)となる。

次に、挙動モーメントの膜理論より

$$T = 2 \int f(x) dx = \omega_r G A^4 \bar{x}^2 \sum (\bar{\phi}_{i,j,i} + \bar{\phi}_{i,j,i+1} + \bar{\phi}_{i,j+1,i} + \bar{\phi}_{i,j-1,i}) / 2$$

上式を、弹性限界時の挙動モーメント $T_f = \omega_r G A^4 \bar{x}^2 B_{f,i,i}$ として

$$\bar{T} = T / T_f = \frac{1}{B_{f,i,i}} \sum (\bar{\phi}_{i,j,i} + \bar{\phi}_{i,j,i+1} + \bar{\phi}_{i,j+1,i} + \bar{\phi}_{i,j-1,i}) \quad \dots \dots \dots \text{(4)}$$

をおれば、 $T_{max} = K = M_{max} \{(\partial \bar{\phi} / \partial \bar{x})^2 + (\partial \bar{\phi} / \partial \bar{y})^2\}^{1/2} G A \omega_r$ で与えられ、

ω_r は、次値をとる。 $\omega_r = K / G A V_a$ 、 $K = K L \cdot \sqrt{A_0} = M_{max} \{(\partial \bar{\phi} / \partial \bar{x})^2 + (\partial \bar{\phi} / \partial \bar{y})^2\}^{1/2}$ 、 $\bar{x} = x/a$ 、 $\bar{y} = y/a$ 、

以上により断面を等分割して、各々の分割度で式(3)を求めれば、

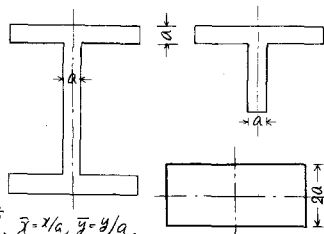


図-1

の算定式が導かれる。これを解く(式(4))より挙動モーメント T_f が直ちに求まるところである。

III 実用公式 以上の結果を用いて、テーセ曲線の実用式を導けば、次のようになる。

いま、テーセ曲線を $\bar{\omega}$ の3次式と仮定すれば、 $T = A + B/\bar{\omega} + C/\bar{\omega}^2 + D/\bar{\omega}^3 \dots \dots \dots \text{(5)}$

式(5)の係数は、最小自乗法により次式にて決定される。

$$\begin{pmatrix} \Sigma 1.0 & \Sigma 1/\bar{\omega} & \Sigma 1/\bar{\omega}^2 & \Sigma 1/\bar{\omega}^3 \\ \Sigma 1/\bar{\omega} & \Sigma 1/\bar{\omega}^2 & \Sigma 1/\bar{\omega}^3 & \Sigma 1/\bar{\omega}^4 \\ \Sigma 1/\bar{\omega}^2 & \Sigma 1/\bar{\omega}^3 & \Sigma 1/\bar{\omega}^4 & \Sigma 1/\bar{\omega}^5 \\ \Sigma 1/\bar{\omega}^3 & \Sigma 1/\bar{\omega}^4 & \Sigma 1/\bar{\omega}^5 & \Sigma 1/\bar{\omega}^6 \end{pmatrix} \begin{pmatrix} |A| \\ |B| \\ |C| \\ |D| \end{pmatrix} = \begin{pmatrix} \Sigma \bar{T} \\ \Sigma \bar{T}/\bar{\omega} \\ \Sigma \bar{T}/\bar{\omega}^2 \\ \Sigma \bar{T}/\bar{\omega}^3 \end{pmatrix}$$

図-2 の矩形、工型、T型各断面に対する結果を表-1 に示す。

参考文献:

*太田 俊昭、佐野洋光：一様な任意形断面棒の弾塑性挙動について(第4回研究発表論文集 土木学会西部改訂編)

断面形状	横/縦	実用公式	最大誤差
正方形	1/1	$1.602 + 0.091/\bar{\omega} - 0.701/\bar{\omega}^2 - 0.009/\bar{\omega}^3$	1.4%
	1/2	$1.761 - 0.108/\bar{\omega} - 0.648/\bar{\omega}^2 - 0.005/\bar{\omega}^3$	2.8%
	1/3	$1.732 - 0.144/\bar{\omega} - 0.570/\bar{\omega}^2 - 0.018/\bar{\omega}^3$	2.2%
矩形	3/10	$1.766 - 0.369/\bar{\omega} - 0.188/\bar{\omega}^2 - 0.209/\bar{\omega}^3$	1.7%
	3/11	$1.763 - 0.406/\bar{\omega} - 0.046/\bar{\omega}^2 - 0.312/\bar{\omega}^3$	2.3%
	1/4	$1.744 - 0.377/\bar{\omega} - 0.075/\bar{\omega}^2 - 0.292/\bar{\omega}^3$	2.3%
	1/5	$1.725 - 0.447/\bar{\omega} + 0.103/\bar{\omega}^2 - 0.382/\bar{\omega}^3$	2.2%
	F:10 W:11	$Z.157 + 0.292/\bar{\omega} - 3.242/\bar{\omega}^2 + 1.793/\bar{\omega}^3$	1.7%
I型	F:10 W:1/2	$Z.293 - 0.054/\bar{\omega} - 3.035/\bar{\omega}^2 + 1.796/\bar{\omega}^3$	1.8%
T型			

$\bar{\omega}$:
F: FLANGE 部, W: WEB 部

表-1

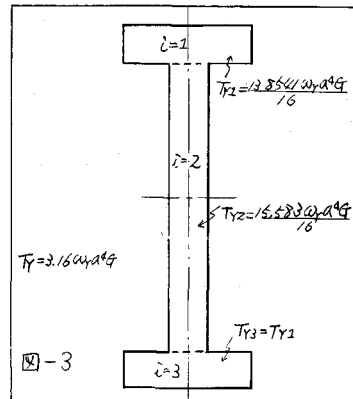


図-3

さて工型、T型断面及びI型、箱型断面等の一般断面に対して、その都度式(3)(4)(5)の計算を行ってテーの曲線を導くことは非常に煩雑で不便となる。そこでこれを矩形断面の集合体とみなし表-1の結果を用いると次の一般近似公式を導くことができる。すなはち弹性限界荷重モーメント下における捩り角は、弹性理論より既に求められており、また下もband heap理論によりband heapの体積から容易に求められるゆえに、これらの値を既知とすることができる。そこで弾塑性のテーの曲線の特性が近似的に各分割矩形断面の和で与えられるとみなせば、次式が成立する。

$$\bar{T}_n = \bar{\omega} \cdot (1 \leq \bar{\omega} \leq \bar{\omega}_t), \quad \bar{T}_n = f_p + \gamma \{ \bar{\omega} (B_i / \bar{\omega}) + \bar{\omega} (C_i / \bar{\omega}^2) + \bar{\omega} (D_i / \bar{\omega}^3) \}, \quad (\bar{\omega} < \infty) \dots \dots \dots \quad (6)$$

ただし、 $f_p = T_p / T_F$, $\bar{\omega}_t = T_F / T_W$, B_i , C_i , D_i (分割矩形断面との式(5)における係数; 既知数)である。

T_F : 分割矩形断面体の弹性限界荷重モーメント。

ここに式(6)の補正係数 γ は、

$$\bar{\omega}_{t2} = f_p + \gamma \{ \bar{\omega}_t (B_i + C_i) + \bar{\omega} (D_i) \} = 1 \dots \dots \dots \quad (7)$$

と与えられる。

IV 応用例

a) 工型の場合: 図-3のように3箇の矩形体として構成される。この時 $f_p = Z.157$ であるから 式(7)と表-1より $\gamma = 1.794$ をえ、結局次のようになる。

$$\bar{T}_n = \bar{\omega} \quad (1 \leq \bar{\omega} \leq 1.7)$$

$$\bar{T}_n = Z.175 - 0.587/\bar{\omega} - 0.210/\bar{\omega}^2 - 0.328/\bar{\omega}^3 \quad (1.7 \leq \bar{\omega} \leq \infty)$$

式(9)の厳密解と比較すれば 図-4のように、最大誤差($\bar{\omega} = 1.7$ の時)4.5%である。

IV 結語 本研究によって 矩形断面及び工型、T型、箱型断面等を対象として 弹塑性挙動モーメントと捩り角に関する近似一般公式が誘導された。図-4に示すように近似公式の定性的な特徴は厳密値とよく合致し、また定量的方面においては、本例の大形断面の場合でも高々4.5%に止むる。長辺/短辺が $\sqrt{\infty}$ の薄肉断面では、精度(便に高上するものと予測)できる。従て本近似式は一般断面に対して充分実用的と言いうる。

尚、本研究は、熊本大学の吉村教授に示唆されることは大である。ここに記して謝意を表す。また、計算は、本学の電子計算機 FACOM 270-20/30 を使用した。

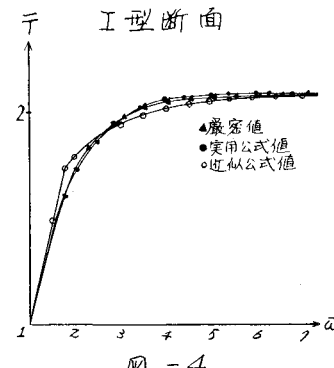


図-4